黄铁矿电子一空穴心在金矿找矿勘探中的应用

胡大千

(长春地质学院)

黄铁矿系半导体矿物, 当其受热扰动时, 则产生电子心或空穴 心。与岩浆活动有关的金矿床、黄铁矿为混合型导电、以P型为 主,这种黄铁矿所占比例愈多,矿床规模愈大;产于变质地体中与韧 性剪切作用有关的金矿床, 为 N 型导电。利用黄铁矿热电性特征, 可以划分成矿阶段,判断矿体剥蚀深度,圈定矿体。

关键词 黄铁矿 电子心 空穴心 金矿



工作

黄铁矿是金矿床中一种 常见的金的载体矿物和蚀变 矿物。随着金矿找矿勘探工 作的不断深入, 研究金矿床 中黄铁矿电子一空穴心的特 征, 及其在找矿勘探过程中

的作用和意义, 越来越受到人们的关注。近 年来, 笔者较系统地研究了我国北方十几个 主要金矿床中黄铁矿电子一空穴心产出特 征。这些矿床虽然产出的大地构造环境不 同, 矿床成因及成矿物质来源各异,除具有 某些共有的特征外, 还存在一些特有的指导 找矿评价的信息, 但总的趋势基本一致。

黄铁矿的电子---空穴心

矿物系地质作用的产物, 当矿物晶体的 质点对理想晶体周期性排列有任何偏差时, 则产生晶体缺陷。矿物晶格的任何缺陷都将 导致局部电中性的破坏(1)。因此,每个缺 陷实质都是矿物中"心"的前身。

1.黄铁矿的电子心

当黄铁矿晶体中局部缺少阴电荷而引起 阳电荷过剩时,这些过剩的阳电荷就需捕获 阴电荷, 使晶体内达到电中性平衡, 所捕获 的电子称为电子心。通常造成黄铁矿晶格中 阳电荷过剩或阴电荷缺少的原因有:

- (1) 阴离子空位 在黄铁矿形成时,由 于某些原因引起阴离子亏损,形成了非化学 计量比缺陷,或由热缺陷而产生的阴离子空 位。
- (2) 阳离子不等价类质同象代替 当黄 铁矿中有高电价阳离子代替晶格中低电价阳 离子时,便可以产生阳电荷过剩。
- (3) 阴离子的不等价类质同象替换 当 黄铁矿晶体中存在有低电价阴离子代替高电 价阴离子时,可造成晶体内阳电荷过剩。

2.黄铁矿的空穴心

由于黄铁矿晶格中局部缺少阳电荷, 使 其阴电荷过剩,为达到电中性的平衡必然要 捕获阳电荷(也称捕获空穴)形成空穴心。 造成黄铁矿晶体中阴电荷过剩的主要原因 有:

- (1) 黄铁矿晶体中阳离子出现空位 这 时可形成非化学计量比的缺陷等。
- (2) 阳离子的不等价类质同象替换 电价阳离子代替高电价阳离子,代替后可使 晶格中缺少阳电荷, 相对阴电荷过剩。
 - (3) 阴离子的不等价类质同象置换 当

本文 1992年6月收到,12月改回,范若芬编辑。

ĩ

晶体内有高电价阴离子代替低电价阴离子 时,使晶格中产生了多余的阴电荷。

影响黄铁矿电子--空穴心因素

黄铁矿是半导体矿物,其电子--空穴心 的类型及浓度可通过热电图谱仪测量其热电 动势表现出来。空穴心型导电(也称 P 型), 热电动势记为"+"; 电子心型导电 (N 型), 热电动势记为"一"。热电动势数值的 大小反映黄铁矿中电子一空穴心的浓度。

黄铁矿属复硫化物,除含有 Fe 和 S 外,还含有一定量的 Co、Ni、As、Sb 等 元素。一般认为 Co 和 Ni 与 Fe 发生类质同 象替换, As、Sb 与 S 进行类质同象置换。 从化学键理论可知,黄铁矿中 Fe^{2+} 为 $3d^{-6}$ 电子的低自旋态, Co²⁺、Ni²⁺代替 Fe²⁺时, 晶体内不产生多余的阳电荷,不能使黄铁矿 显示出电子一空穴心导电特征。而 Co3+和 Ni⁴⁺与 Fe²⁺一样,均可形成低自旋态的 d^2sp^3 杂化键与硫离子成六配位的共价键。 显然, 若晶体内有 Co3+和 Ni4+代替 Fe2+ 时,晶体中出现过剩的阳电荷,可以使黄铁 矿产生电子心。[S₂]²⁻是 2 个 S 以共价键形 成的络阴离子团。S的外层电子为 $3s^23p^4$, 而 As 的外层电子为 $4s^24p^3$ 、Sb 为 $5s^25p^3$ 。 当 As5+和 Sb5+代替 S6+时(它们都可以形成 sp³ 或 d³s 杂化键⁽²⁾), 形成[AsS]³⁻及 [SbS]3-, 致使黄铁矿晶体中阴电荷过剩, 可 以引起黄铁矿产生空穴心。黄铁矿中存在有 As⁵⁺已由电子能谱所证实⁽¹⁾,但Co、Ni的 价态电子能谱尚未能给予验证,这可能是由 于某些图谱目前还不能给予合理解析造成 的。但在所研究的金矿床中,均存在有黄铁 矿中 Co 和 Ni 的含量与其电子心型导电关 系密切这一事实。如河北土岭——石湖金矿 中, 黄铁矿补偿热电动势与 Co、Ni 含量导 反消长关系。具体表现为 VNP (补偿热电动

势) = 4.35+2.27Sb-0.0104Co-0.137Ni(F=3,n=16)。并且 V_{NP} 与 Co 的相关系数为 $-0.4894(n=16, \gamma_{0.05}=0.468)$; V_{NP} 与 Ni 的 相关系数为-0.4919(n=19, $\gamma_{0.05}=0.433$)。 许虹(1987)⁽³⁾ 曾合成了纯净黄铁矿和分别 含 Co 和 As 的黄铁矿,对合成样品所进行 的热电性测试结果表明(表 1), 纯黄铁矿即 有 N 型又有 P 型导电, 其中以 P 型导电为 主(70%)V_{NP}=4.26(mV); 含 Co 黄铁矿皆 为 N 型导电, $V_{NP} = -12.30$ (mV); 含 As 黄铁矿以 P 型导电为主 (70%), N 型次 之, $V_{NP} = 12.25 (mV)$ 。 反映出黄铁矿中 Co 和 As 的含量对其热电性质的影响。即 Co 可使黄铁矿产牛电子心; As 可告成黄铁矿 具有空穴心。

表 1 合成黄铁矿热电动势及 $V_{NP}(mV)$

矿物	E值				
	纯黄铁矿	含 Co 黄铁矿	含 As 黄铁矿		
	+5.8	-12.4 -12.6	-17.2		
	-10.3	-18.9 -13.3	-12.1		
热	+6.0	-14.3 -7.3	+19.6		
	+22.9	-18.9 -5.8	+17.6		
电	+11.1	-12.5 -7.0	+17.6		
动	+5.7	-11.1 -11.9	+20.5		
势	-6.8	-9.1 -11.4	+20.9		
	-1.9	-13.5 -15.3	+18.9		
	+57	-11.2 -10.5	+17.9		
	+4.0	-17.4 -12.1	-10.1		
补偿电动势 V _{NP}	+4.26	-12.32	+10.25		

长春地院成岩成矿实验室合成。

除上述影响黄铁矿产生电子一空穴心的 因素之外,由于使用热电图谱仪的活化温度 不同、电极材料的差异以及黄铁矿样品本身 的形态、粒度、结晶方向的不同均可造成样 品的热电动势(或热电系数)数值的不同。 但这些影响因素一般都使热电动势或热电系 数值改变在 10%~20%±, 个别情况可达 50%。因此,在整理数据和进行不同矿区 的样品对比时应慎之。

①李商山等,矿物中的电子心--空穴心及其在找矿勘探中的应用。国家自然科学基金研究报告,1991。

黄铁矿电子--空穴心 作用与意义

黄铁矿是金矿床中普遍存在的一种矿 物, 其热电性质与金的成矿作用关系密切, 具有良好的指示成矿和找矿意义。

1. 黄铁矿的导电类型与金矿成因

表 2 列出了我国北方部分金矿床黄铁矿 的热电性特征。从表 2 可以看出, 黄铁矿的 热电性质与金矿床所处的大地构造环境没有 必然的联系。但黄铁矿的热电性质与金矿床 的成因显示出相关性。与岩浆活动有关的金 矿床, 包括岩浆期后热液型、蚀变岩型、火

山热液—蚀变岩型金矿,黄铁矿为混合型导 电,以P型导电为主。这些矿区有:土岭 一石湖、五龙、齐求 I (5) 、三山岛、玲 珑、香炉碗子金矿等;产于变质地体中与韧 性剪切作用有关的金矿床,黄铁矿则全部为 N型导电,如金厂峪、暖泉子金矿(矿化 区) 等。同时,黄铁矿的导电类型,可以较 好地反映与岩浆活动有关的金矿床的规模, P型导电黄铁矿所占比例愈多, 矿床规模则 愈大。如三山岛、玲珑东山、玲珑西山、齐 求 I、五龙等大型、特大型金矿床, 黄铁矿 主要以空穴心导电为主。在上述矿区中,P 型导电黄铁矿出现的频率均在80%以上。

表 2	不同成因金矿	床中黄铁矿	热电性特征

	秋 - 叶马及西亚苏州, 贝贝 苏州北西亚市						
矿 区	大地构造环境	成因特点	热电系数(μV / ℃)	P型(%)	产地		
土岭—石湖	地 台	岩浆期后热液石英脉	−320.7~327. 1	23.0	河北		
五 龙	地 台	岩浆期后热液石英脉	-182.9~401.4	91.8	ii 'j'		
齐 求 I	地 槽	岩浆期后热液石英脉	-166.6~475.5	82.6	新疆		
玲珑东山	地 台	岩浆期后热液石英脉	-433.0∼585.0	87.1	山东		
玲珑西山	地 台	岩浆期后热液石英脉	-400.0∼∼350.0	78.2	山东		
峪 耳 崖	地 台	岩浆期后热液石英脉	-196.0~205.0	65.0	河北		
平顶山	地 槽	岩浆期后热液蚀变	−93.1 ~ 473.2	99.0	黑龙江		
三山岛	地 台	蚀变岩型	39.4~408.4	100	山 东		
夏 甸	地台	蚀变岩型	-283.6~ 567.4	35.0	山 东		
香炉碗子	槽台过渡带靠台	火山热液蚀变岩	-160.7~406.4	95.2	吉 林		
闹枝	地 槽	次火山热液	−217.6~290.5	43.6	山东		
金厂峪	地 台	变质热液	−78.9∼−144.7	0	河 北		
暖泉子	地台	与韧性剪切作用有关	-70.1 ~ -240.2	0	近 守		

山东金矿数据据陈光远等(1989)(4)。

2.黄铁矿热电性与成矿阶段

不同成矿阶段形成的黄铁矿, 具有不同 的热电性特征。因此,利用黄铁矿热电性特 征可以划分成矿阶段。闹枝金矿第Ⅰ成矿阶 段形成的黄铁矿,属 N 型半导体;第Ⅱ成 矿阶段为 NP 混合型; 第Ⅲ成矿阶段属 P 型半导体。这在矿区黄铁矿补偿热电动势直 方图(见图)可以明显看出。图中共出现4 个峰: 第一个峰, 黄铁矿补偿热电动势值变 化范围为-33~-10mV, 众值是-18mV, 为 第 I 成矿阶段产物; 第二个峰的数值变化为 $-10\sim-1.5$ mV, 众值-7.5mV; 第三个峰的 数值变化于-1.5~10mV, 众值 1.5mV, 对 应于第Ⅱ成矿阶段; 第四个峰数值变化范围 为 10~39mV, 众值 16.5mV, 对应于第Ⅲ 成矿阶段。山东金矿(玲珑、夏甸、三山岛 等) 规律为,由成矿初期→成矿后期,热电 系数的离散性由大变小, α (热电系数) 平 均值由大→小, 导型组合总趋势为 NP 型→ 单一N型或P型。

3.黄铁矿热电性与金矿找矿

黄铁矿热电性在矿体空间上具有明显的 分带规律。在矿体横向上,由矿体到围岩, 热电系数值由大到小变化的矿床有: 土岭一

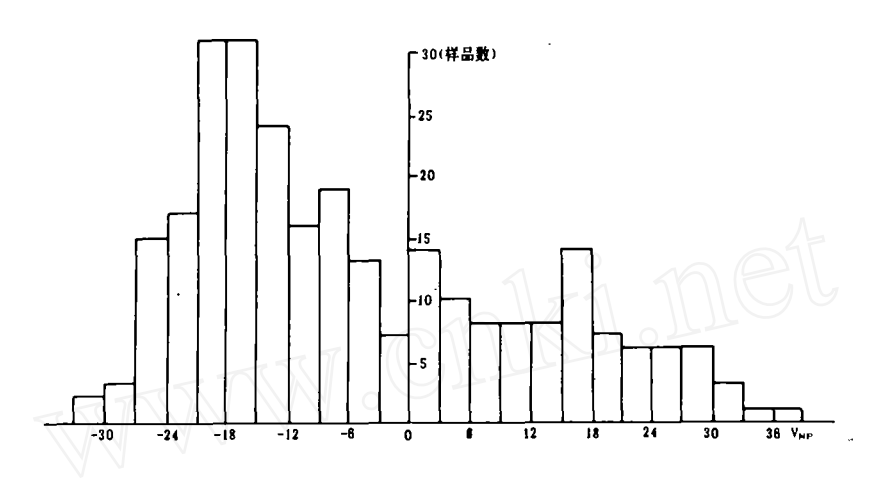


图 黄铁矿 V_{NP} 直方图

石湖、齐求 I、闹枝金矿等; 热电系数值由 小变大的矿床有五龙、平顶山金矿等。这主 要是由于各矿区围岩中 Co、Ni 等微量元素 含量、成矿热液组分及组分迁移速率不同引 起的。在矿体轴向上,所研究的绝大多数金 矿, 从矿体上部到矿体下部, 热电系数值逐 渐变小,到矿体尾部,一般都出现大量电子 心型导电的黄铁矿。如土岭—石湖 平顶 山、峪耳崖、夏甸等金矿都有此特征。热电 系数在矿体轴向上的变化规律与矿床元素的 轴向分带序列(与岩浆作用有关的金矿床) 对应甚好。在这类矿床中, Co 和 Ni 恰为 矿体的尾晕, 这也从地球化学角度证明黄铁 矿的电子一空穴心与金的成矿作用存在着内 在的联系,是一个可靠的自然规律。

由于黄铁矿热电性在矿体轴向上具有规 律性的变化, 因此, 黄铁矿热电性质可以作 为反映矿床剥蚀深度的标志。土岭——石湖金 矿, 经统计分析, 建立了矿体埋深与黄铁矿 补偿热电动势的关系式: $D_{\mu\nu} = -207.9451$ +8.53V_{NP}。 五龙金矿建立的矿体剥蚀深度 标志为: 矿体头部, 热电系数表现为最大, 是 272.1μV/℃; 矿体中部 α 为 206.4μV /℃; 矿体尾部为-31.4μV/℃。并且矿体 延伸规模与热电系数的变化率关系密切,其 回归方程: $Y_{\text{iii} \phi} = 217.36 - 62.88 \gamma_{\text{iiii} \psi}$ 。 夏 甸金矿呈雁行式排列的矿体,每一矿体的上 部, 黄铁矿为 NP 混合导电; 每一矿体的下 部, 为单一的 N 型导电。

利用成矿阶段黄铁矿测得的热电系数求 出的产矿系数,可以用来圈定矿体。齐求 [金矿,产矿系数大于60%地段为工业矿 体。

在某些金矿床中, 黄铁矿补偿热电动势 与 Au 品位之间存在着一定的关系。土岭一 石湖金矿, 黄铁矿的补偿热电动势与 Au 品 位的关系式为: $Au_{(B,(V))} = 0.0752V_{NP} +$ 1.2045。据此建立了划分矿体、强矿化体、 围岩的具体 V_{NP} 值: $V_{NP} > 11mV$ 为矿体, Au 品位 > 2g/t; V_{NP} -3~11mV 为强矿 化体, Au 品位 1~2g/t; V_{NP}-16~ -3mV 为弱矿化体或围岩, Au 品位 $< \lg / t$.

本文是国家自然科学基金项目: "矿物中 的电子心一空穴心及其在找矿勘探中的应 用"部分科研成果。本文在撰写过程中,李 高山教授给予了热情的鼓励,文中引用了靳 是琴教授及我院部分研究生的研究成果,在 此一并表示衷心感谢。

参考文献

[1] 马尔富宁, A.C.著, 擦秀成等译, 《矿物的谱学、发 光和辐射中心》,科学出版社,1984年,第183~184页。

[2] 王濮等,《系统矿物学》(上册), 地质出版社, 1982 年, 第33页。

[3] 许虹等,长春地质学院建院 40 周年科学研究论文集(基础地质),吉林科学技术出版社,1992年,第 95~101页。

版社, 1989年。

[5] 胡大千, 长春地质学院学报, 1989, 第 3 期, 第 293 ~310、346 页。

[4] 陈光远等,《胶东金矿的成因矿物学与找矿》, 重庆出

Thermal Conductivity Characteristics of Pyrite Hsing for Gold Exploration

Hu Dagian

Being a semiconductor mineral, under thermal agitation pyrite usually form electron—hole centre for electric conduction. Pyrite from the gold deposits that related tomagmatism is mainly characterized by the P—type conduction. The larger the proportion occupied by such pyrite, the larger the size of the deposits. While the pyrite from the gold deposits that related to those located in metamorphic terranes or ductile shear zones is a N—type conductive material. By using such thermal conductivity of pyrite, it is possible to differentiate metallogenic epoches and denudation depth and more accurately to delineate the gold deposits.

冷冻法测定矿物包裹体盐度的应用条件

张相训

(广西地质矿产局第一地质队·临桂)

研究一些矿床的盐度发现,冷冻法测定的盐度与利用矿物包裹体成分直接计算的盐度,在多数情况下不一致。其原因是冷冻法测定盐度时所假设的理想溶液,与矿物包裹体的真实溶液成分不一致。

关键词 冷冻法 矿物包裹体 盐度测定 应用条件

可物包裹体盐度是研究成矿溶液的性质,对比、划分矿床类型和探讨矿床成因的重要依据。当前测定盐度常用的方法是冷冻法。笔者在古怪冲锡矿床的研究中,发现冷冻法测定的盐度,和利用矿物包裹体成分直接计算的盐度之间存在很大差别。为了探索其原因,笔者以冷冻法测定矿物包裹体盐度所假设的理想条件为基础,对矿物包裹体溶液成分以及其对冷冻法测定盐度的影响进行了研究。结果表明,冷冻法测定矿物包裹体盐度是有其一定的应用条件的。

两种方法盐度对比

下面选择 5 个既有冷冻法测得的盐度, 又有同一样品矿物包裹体成分资料的不同类 型矿床测得的盐度 (表 1)。

1.广西灌阳县古怪冲云英岩—石英脉型锡矿床: 笔者曾对区内的花岗岩、云英岩、岩浆热液石英脉和地下热水成因的石英脉进行采样,用冷冻法测定盐度(以下称实测盐度),并将同一样品的另一部分进行矿物包裹体成分分析。阳离子用吸收,阴离子用吸收,阴离子用离子色谱法分析,分析精度 0.02µg/g,可保证计算精度达到 0.01%。然后利用王真光等提出的公式计算盐度 (1) (以下称计算盐度)。结果表明,实测盐度比计算盐度大得多,前者是后者的 5~15.6 倍,实测盐度与溶液的总盐度(离子总浓度)也不一致。

2.河北平泉小寺沟斑岩型钼(铜)矿床: 实测盐度比计算盐度高 37 倍以上, 比溶

· 37 ·